

МИНИСТЕРСТВО НАУКИ И ВЫСШЕГО ОБРАЗОВАНИЯ
РОССИЙСКОЙ ФЕДЕРАЦИИ

**Федеральное государственное автономное образовательное учреждение
высшего образования «Национальный исследовательский Ниже-
городский государственный университет им. Н.И. Лобачевского»**

А.И. Эгамов

**ЛАБОРАТОРНАЯ РАБОТА
«ЧИСЛЕННОЕ РЕШЕНИЕ НАЧАЛЬНО-КРАЕВОЙ
ЗАДАЧИ ДЛЯ ИНТЕГРО-ДИФФЕРЕНЦИАЛЬНОГО
УРАВНЕНИЯ В ЧАСТНЫХ ПРОИЗВОДНЫХ»**

Учебно-методическое пособие

Рекомендовано методической комиссией института информационных технологий, математики и механики для студентов ННГУ, обучающихся по направлению подготовки 02.03.02 «Фундаментальная информатика и информационные технологии»

Нижний Новгород
2019

УДК 519.642.2(075.8)

ББК В161.6я73

Э17

Эгамов А.И. Лабораторная работа «Численное решение начально-краевой задачи для интегро-дифференциального уравнения в частных производных: учебно-метод. пособие / А.И. Эгамов. – Нижний Новгород: Изд-во ННГУ, 2019. – 15 с.

Рецензент: д.ф.-м.н., профессор Н.Ю. Золотых

Учебно-методическое пособие содержит четкую и подробную постановку задачи, требования к написанию программы для выполнения лабораторной работы, избранные материалы лекционных и практических занятий и методы самоконтроля правильности выполнения лабораторной работы. Рекомендуется для студентов направления 02.03.02 «Фундаментальная информатика и информационные технологии» по учебной дисциплине «Вычислительные методы».

УДК 519.642.2(075.8)

ББК В161.6я73

**© Нижегородский государственный
университет им. Н.И. Лобачевского, 2019**

© Эгамов А.И.

Оглавление

Предисловие	4
1. Описание управляемого процесса	5
2. Исследование задачи	6
3. Задание	9
4. Методы самоконтроля части В	11
Литература	14

Предисловие

Лабораторная работа «Численное решение начально-краевой задачи для интегро-дифференциального уравнения в частных производных» является последней и, пожалуй, самой трудной из четырех, запланированных учебным планом, лабораторных работ по курсу «Вычислительные методы» для студентов 3 курса, обучающихся по направлению подготовки 02.03.02 «Фундаментальная информатика и информационные технологии» института информационных технологий, математики и механики ННГУ им.Н.И.Лобачевского. К сожалению, на данном направлении не запланирован курс «Уравнения математической физики». Это накладывает определенные трудности при изучении раздела «методы вычислений решений уравнений с частными производными» в курсе «Вычислительные методы». Именно поэтому возникла идея написания данного учебно-методического пособия, чтобы учащиеся ясно представляли постановку задачи и что от них требуется при выполнении этой лабораторной работы. В настоящем пособии дана четкая и подробная постановка задачи, требования к написанию программы для выполнения лабораторной работы, избранные материалы теоретических исследований, которые могут быть полезны для учащегося, и методы самоконтроля выполнения лабораторной работы. Все то, что необходимо для ее правильного выполнения и успешной сдачи в назначенный срок. Для лучшего понимания и контроля она разделена на две части: часть А и часть В. Первая часть несколько легче и дается как подготовка к части В, хотя, безусловно, также несет определенную учебную нагрузку и не является тривиальной. В связи с существенным ограничением на время проверки преподавателем представляется к проверке только часть В, которая является, в каком-то смысле, исследовательской работой. Особое внимание при проверке лабораторной работы уделяется так называемому «дружелюбному интерфейсу». Пример подобного интерфейса также приведен в данном учебно-методическом пособии.

1. Описание управляемого процесса

Рассмотрим управляемый процесс нагревания стержня [1, с.192]: дан тонкий однородный стержень с теплоизолированными концами длины l . На процесс изменения температуры стержня осуществляется некое воздействие для достижения определённых целей, например, через стержень пропускается электрический ток или он помещается в электромагнитное поле (индукционный нагрев) и т. п. Построим математическую модель этого процесса.

На множестве $Q = [0, l] \times [0, T]$, $l > 0$, $T > 0$; найти функцию $y(x, t)$ – температуру стержня – непрерывно дифференцируемую по t и дважды непрерывно дифференцируемую по x – решение уравнения

$$y'_t(x, t) = a^2 y''_{xx}(x, t) + u(x, t), \quad (1)$$

удовлетворяющее (концы теплоизолированы) однородным граничным условиям второго рода

$$y'_x(0, t) = y'_x(l, t) = 0 \quad (2)$$

и начальному условию

$$y(x, 0) = \varphi(x), \quad (3)$$

где a – константа, функция $\varphi(x) > 0$ задает начальное распределение температуры, дважды непрерывно дифференцируема на отрезке $[0, l]$ и удовлетворяет условиям согласования (3) и условию

$$\int_0^l \varphi(x) dx = 1. \quad (4)$$

Непрерывная функция $u(x, t)$ – управление с обратной связью, которое представляется в в одном из вариантов:

$$u(x, t) = b(x)y(x, t), \quad (5)$$

$$u(x, t) = b(x)y(x, t) - y(x, t) \int_0^l b(x)y(x, t) dx, \quad (6)$$

где $b(x)$ – управляющая функция, непрерывная на отрезке $[0, l]$.

Управление вида (5) рассматривается при выполнении части А лабораторной работы, а управление вида (6) рассматривается при выполнении части В лабораторной работы.

Наложение условия дважды непрерывной дифференцируемости на отрезке $[0, l]$ объясняется следующим. Во-первых, чтобы решать поставленную задачу одним из самых известных методов – методом Фурье и, чтоб полученный ряд – решение задачи – можно было дифференцировать по t и дважды дифференцировать по x . А во-вторых, как правило, те элементарные функции, которые задаются написанной учащимся программой (и те, которые требуются и в задании), обладают свойством бесконечного

дифференцирования, хотя, конечно, для существования решения исходных задач условия на функцию $\varphi(x)$ можно ослабить.

2. Исследование задачи

Для определенности обозначим решение части А: $w(x,t)$.

Теорема 1. *Задача (1)-(4) при $u(x,t) \equiv 0$, имеет решение:*

$$w_0(x,t) = \sum_{i=0}^{+\infty} \varphi_i \exp(-\lambda_i^2 t) v_i(x),$$

где собственные числа λ_i и полная, ортогональная на отрезке $[0,l]$ система косинусов [2] $v_i(x)$, удовлетворяющая условию (2):

$$\lambda_0 = 0, v_0(x) = 1; \lambda_i = \frac{\pi i}{l}; v_i(x) = \cos \frac{\pi i x}{l} \equiv \cos \lambda_i x, i = \overline{1, +\infty}.$$

Доказательство: [2].

Следствие: Из (4) следует $\varphi_0 = \frac{1}{l}$.

Теорема 2. Пусть $P(t) = \int_0^l w(x,t) dx$, где $w(x,t)$ – решение задачи

(1)–(5), тогда при сделанных предположениях $P(t) > 0$ при $0 \leq t \leq T$.

Доказательство: Предположим противное. $P(0) = 1$ (см. условие (4)), $P(t)$ непрерывна, тогда существует $t_0 = \min\{t : P(t) = 0\}$, и при $t < t_0$ верно неравенство

$$\frac{dP}{dt} = \int_0^l w'_t(x,t) dx = \int_0^l a^2 w''_{xx}(x,t) dx + \int_0^l b(x) w(x,t) dx = \int_0^l b(x) w(x,t) dx \geq B_1 P(t),$$

$\min_{x \in [0,l]} |b(x)| = B_1$. Поэтому, по теореме Чаплыгина [3] $P(t) \geq \exp(B_1 t) > 0$ при

$t < t_0$. Переходя к пределу по $t \rightarrow t_0 - 0$, получим $P(t_0) \geq \exp(B_1 t_0) > 0$. Противоречие. Лемма 1 доказана.

Теорема 3. Если выбрано управление вида (6), то для любого $t \in [0, T]$ для решения задачи (1)-(4), (6) справедливо равенство:

$$\int_0^l y(x,t) dx = 1. \quad (6)$$

Доказательство: Интегрируя уравнение (1) с управлением (6), получим

$$\int_0^l y'_t(x,t) dx = \int_0^l b(x) y(x,t) dx, - \int_0^l y(x,t) dx \int_0^l b(x) y(x,t) dx. \quad (7)$$

Обозначим $\sigma(t) = \int_0^l y(x,t) dx - 1$, $q(t) = -\int_0^l b(x) y(x,t) dx$, причем $q(t)$ – непрерывна на отрезке $[0, l]$. Тогда дифференциальное уравнение (7) с начальным условием (4) перейдет в задачу Коши

$$\sigma'_t(t) = q(t)\sigma(t), \quad \sigma(0) = 0. \quad (8)$$

Ее решение: $\sigma(t) \equiv 0$, что равносильно (6). Теорема доказана.

Теорема 4. При замене в уравнении (1) с управлением (5) функции $b(x)$ на $b(x) + c_0$, где c_0 – некоторая константа, новое решение задачи (1)-(5) – функция $\tilde{w}(x,t)$ – соотносится с изначальным, функцией $w(x,t)$, как

$$\tilde{w}(x,t) = \exp(c_0 t) w(x,t). \quad (9)$$

Доказательство: Справедливость теоремы определяется непосредственной проверкой.

Теорема 5. Решение нелинейной задачи (1)–(4),(6) $y(x,t)$ выражается через решение линейной задачи (1)–(5) функцию $w(x,t)$:

$$y(x,t) = \frac{w(x,t)}{\int_0^l w(x,t) dx}. \quad (10)$$

Доказательство: По Теореме 2 знаменатель в (10) не обращается в ноль. Проверка граничных и начальных условий очевидна. Дифференцируя (10), имеем

$$\begin{aligned}
y'_t(x,t) &= \frac{d}{dt} \left(\frac{w(x,t)}{\int_0^l w(x,t) dx} \right) = \frac{w'_t(x,t)}{\int_0^l w(x,t) dx} - \frac{w(x,t) \left(\int_0^l w'_t(x,t) dx \right)}{\left(\int_0^l w(x,t) dx \right)^2} = \\
&= \frac{a^2 w''_{xx}(x,t) + b(x)w(x,t)}{\int_0^l w(x,t) dx} - \frac{w(x,t) \left(\int_0^l b(x)w(x,t) dx \right)}{\left(\int_0^l w(x,t) dx \right) \left(\int_0^l w(x,t) dx \right)} = \\
&= a^2 y''_{xx}(x,t) + b(x)y(x,t) - y(x,t) \int_0^l b(x)y(x,t) dx.
\end{aligned}$$

Замечание: Результат Теоремы 3 теперь можно получить как следствие из Теоремы 5.

Теорема 6. При замене в уравнении (1) с управлением (6) функции $b(x)$ на $b(x) + c_0$, где c_0 – некоторая константа, функция $y(x, T)$ не изменится.

Доказательство: Фактически это следствие из Теоремы 4 и Теоремы 5.

На основании утверждений этих теорем ниже приведены методы самоконтроля для выполнения части В.

3. Задание

Часть А.

1. Составить неявную разностную схему с погрешностью $O(\tau + h^2)$ [4] для уравнения (1), (5).

2. Учесть условие устойчивости $\frac{a^2\tau}{h^2} < \frac{1}{2}$. Допускается выбор $a=1$.

3. Определить нулевой слой для будущей разностной схемы из (3).

4. Составить трехточечные разностные производные первого порядка [4] для краевых условий: y'_0, y'_n с погрешностью второго порядка.

5. Разработать алгоритм получения численного решения задачи (1)-(3).

6. Полученную систему линейных уравнений привести к трехдиагональной и решить методом прогонки [4], оформив решение в виде подпрограммы.

7. Написать программу на языке программирования высокого уровня с дружеским интерфейсом для численного решения задачи (1)-(3) и вывода функции $w(x, T)$ на экран в графическом виде. В качестве начальной

функции рекомендуется взять $\varphi(x) = \frac{1}{l} + \varphi_1 \cos \frac{\pi x}{l}$, в качестве функ-

ции $b(x) = b_1 \cos \frac{\pi x}{l}$, где φ_1, b_1 – некие константы.

8. На одном и том же рисунке вывести оси координат, график функции $\varphi(x)$ – синим цветом; график функции – красным цветом.

9. Учесть в оконном меню программы возможность изменения:

1. длины стержня l ; времени T ;
2. шага h в разностной схеме по координате x ;
3. шага τ в разностной схеме по координате t ;
4. констант b_0, b_1, φ_1 .

Часть В.

1. Определить нулевой слой для будущей разностной схемы из (3).

2. Перед вычислением каждого следующего слоя по формуле Симпсона [4] посчитать интеграл в управлении (5) для значений последнего известного j слоя;

$$I_j = \frac{h}{6}(y_0 + 4y_1 + 2y_2 + 4y_3 + 2y_4 + \dots + 2y_{n-4} + 4y_{n-3} + 2y_{n-2} + 4y_{n-1} + y_n),$$

$n = \frac{l}{h}$ предполагается, что n – четное.

3. Составить неявную разностную схему с погрешностью $O(\tau + h^2)$ для уравнения (1), (6), учитывая I_j .

4. Учесть, что в данном случае условие устойчивости не доказано. Рекомендуется попробовать: $\frac{a^2\tau}{h^2} < \frac{1}{4}$. Параметр a взять как и в части А: $a=1$.
5. Составить трехточечные разностные производные первого порядка для краевых условий: y'_0, y'_n с погрешностью второго порядка.
6. Разработать алгоритм получения численного решения задачи (1)–(3).
7. Полученную систему линейных уравнений привести к трехдиагональной и решить методом прогонки, оформив ее решение в виде подпрограммы на языке программирования высокого уровня.
8. Написать программу на языке программирования высокого уровня с дружеским интерфейсом для численного решения задачи (1)–(3) и вывода функции $y(x, T)$ на экран в графическом виде. В качестве начальной функции рекомендуется взять $\varphi(x) = \frac{1}{l} + \varphi_1 \cos \frac{\pi x}{l} + \varphi_2 \cos \frac{2\pi x}{l}$ в качестве функции $b(x) = b_0 + b_1 \cos \frac{\pi x}{l} + b_2 \cos \frac{2\pi x}{l}$, где $b_0, b_1, b_2, \varphi_1, \varphi_2$ – некие константы.
9. На одном и том же рисунке вывести оси координат, график функции $\varphi(x)$ – синим цветом; график функции $y(x, T)$ – красным цветом.
10. Учесть в оконном меню программы возможность изменения:
1. длины стержня l ; времени T
 2. шага h в разностной схеме по координате x ;
 3. шага τ в разностной схеме по координате t ;
 4. константы b_0, b_1, φ_1 .
11. Вывести на экран время выполнения данной работы и строку прогресса.
12. Полученную функцию $w(x, T)$ в части А нужно разделить на $I = \int_0^l w(x, T) dx$, который нужно посчитать по формуле Симпсона для значений последнего известного слоя (при $t=T$), и вывести полученный график функции $\frac{w(x, T)}{\int_0^l w(x, T) dx}$ на экран светло-зеленым цветом.
13. Поскольку в идеале красный и зеленый график должны совпадать, желательно сделать так, чтобы зеленый график выводился на экран только при дополнительном нажатии «горячей клавиши», например, «пробел».
14. Сдавать нужно только часть В лабораторной работы, часть А необходима для самоконтроля работы студента. Отдельно часть А не принимается!

4. Методы самоконтроля части В

Ниже приводятся свойства решения части В поставленной задачи, которая является более трудной нежели часть А, и отслеживание правильности построения решения могут вызывать значительные сложности.

1. На концах отрезка в силу (2) график функции численного решения имеет горизонтальные касательные.

2. Из Теоремы 1 следует, что см. рисунок 1, что площадь фигуры, где график функции $\varphi(x)$ выше, чем $y(x, T)$ равна площади фигуры, где функция $\varphi(x)$ ниже, чем $y(x, T)$, то есть, $S_1 = S_2$.

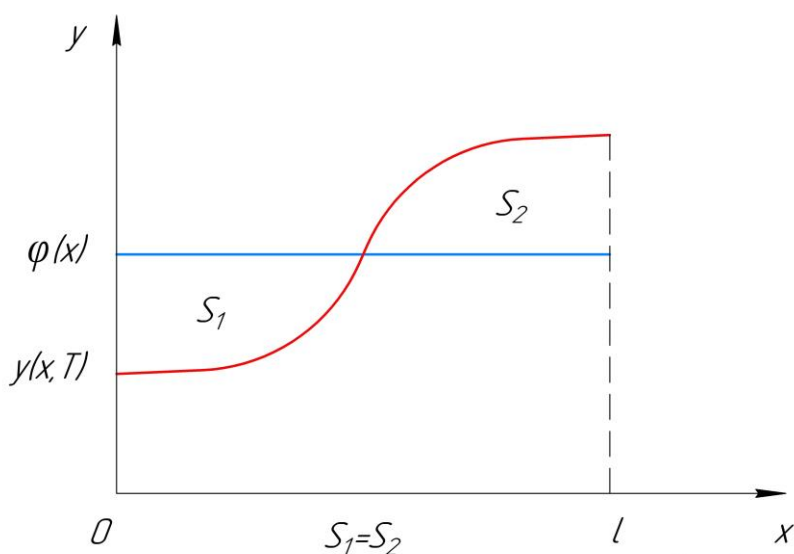


Рисунок 1

Рисунок 1

3. При замене функции $b(x)$ на $b(x) + c_0$, где c_0 – некоторая константа, функция $y(x, T)$ не изменится.

4. Из Теоремы 5 следует, что зеленый график должен будет находиться «близко» к красному.

5. Далее приводятся примеры скриншотов программы с дружественным интерфейсом (см. рисунки 2 – 5). Предлагаются два варианта. Выбор за вами. Приветствуется свое – более интересное решение. Ниже представлены варианты, каждый – по два скриншота.

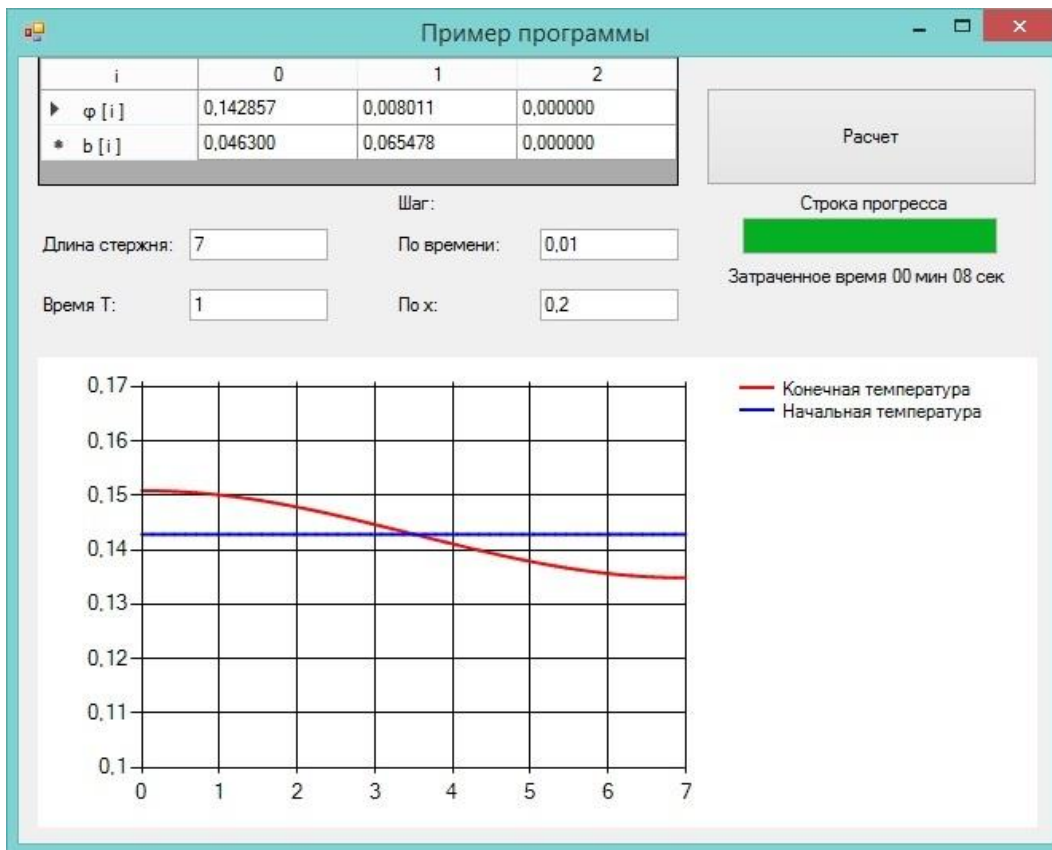


Рисунок 2

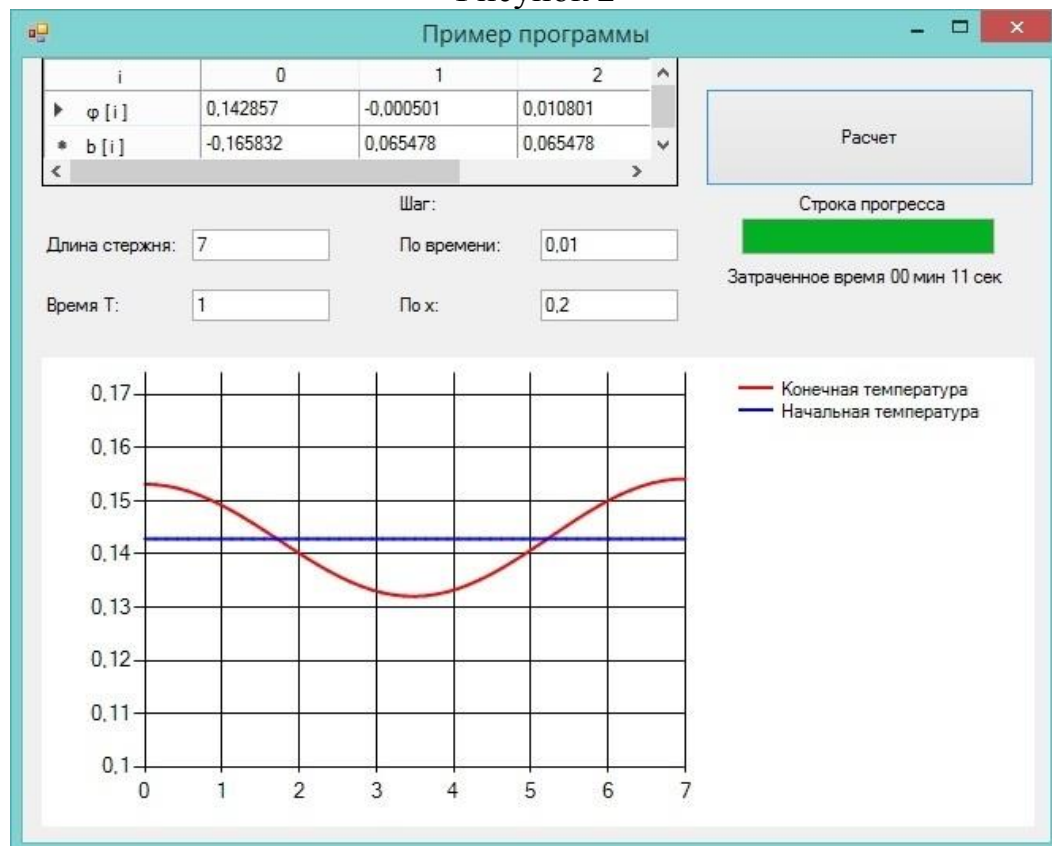


Рисунок 3

Или такой вариант.

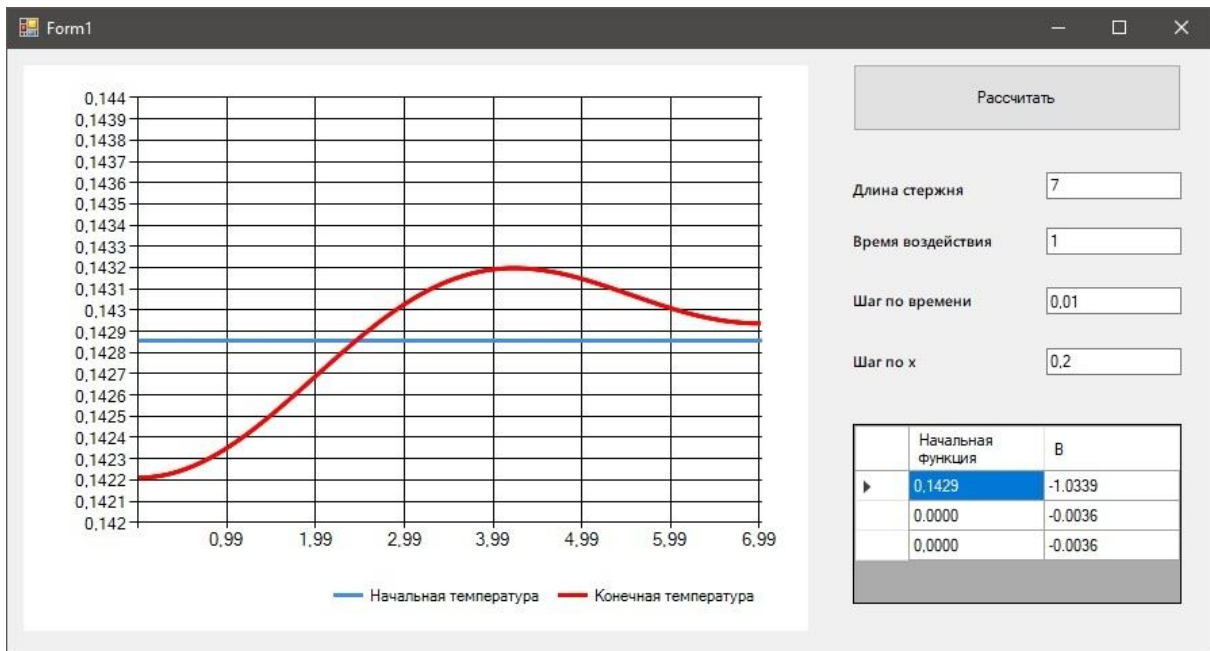


Рисунок 4.

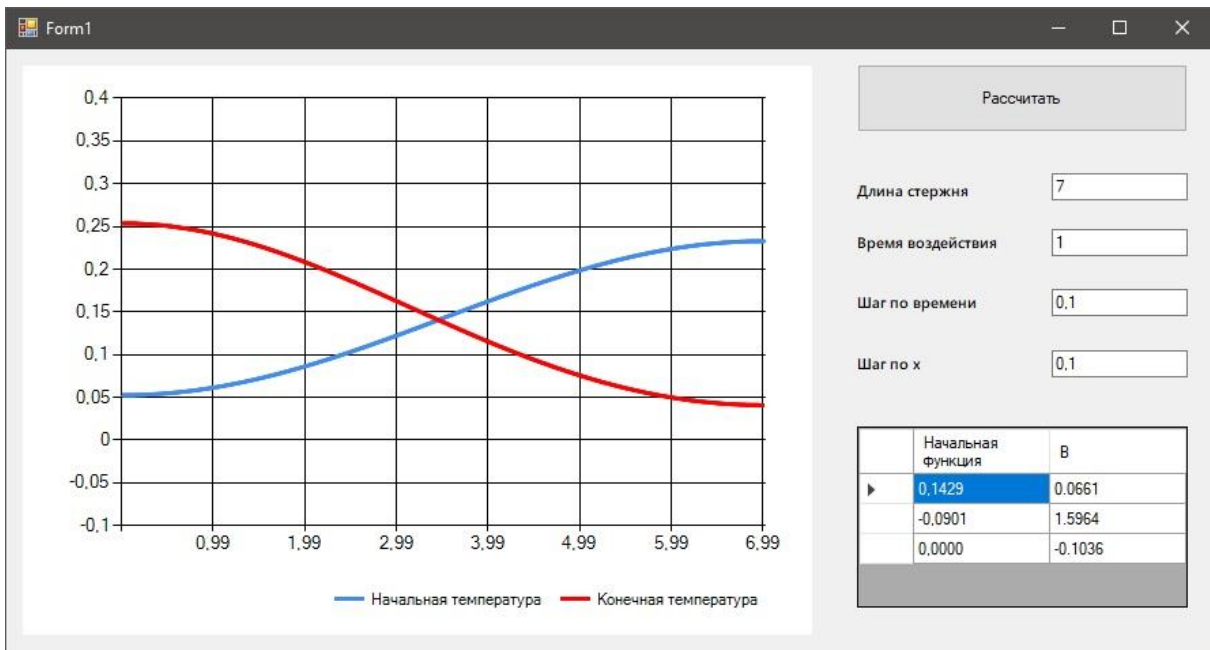


Рисунок 5.

Литература

1. Э.Г. Позняк, В.А. Ильин. Основы Математического анализа. Часть 2. – Москва: Физматлит, 2002. 464с.
2. А.Н. Тихонов, А.А. Самарский. Уравнения математической физики. – М.: Наука, 1979. 799с.
3. И.С Березин, Жидков Н.П. Методы вычислений Т.2. – М.: ГИФМЛ, 1959. 620с.
4. А.А. Самарский. Введение в численные методы. – СПб.: Лань, 2005. 288с.

Альберт Исмаилович Эгамов

**ЛАБОРАТОРНАЯ РАБОТА
«ЧИСЛЕННОЕ РЕШЕНИЕ НАЧАЛЬНО-КРАЕВОЙ
ЗАДАЧИ ДЛЯ ИНТЕГРО-ДИФФЕРЕНЦИАЛЬНОГО
УРАВНЕНИЯ В ЧАСТНЫХ ПРОИЗВОДНЫХ»**

Учебно-методическое пособие

Федеральное государственное автономное образовательное учреждение
высшего образования «Национальный исследовательский Нижегородский
государственный университет им. Н.И. Лобачевского»
603950, Нижний Новгород, пр. Гагарина, 23.